

Warszawa, dn. 2024-03-10

T-Mobile Polska S.A.  
ul. Marynarska 12  
02-674 Warszawa

Pełnomocnik: [REDACTED]  
Pełnomocnictwo numer: 159/01/21

z dnia: 2021-01-13

**dane do korespondencji:**

**NetWorks Sp. z o.o.**  
ul. Józefa Piłsudskiego 3  
00-728 Warszawa  
tel. 506401236

**Prezydent Miasta Białystok**  
**Urząd Miejski w Białymstoku**  
**ul. Słonimska 1**  
**15-950 Białystok**

**Dotyczy:** ustawowego obowiązku, wynikającego z art. 152 ust. 1 i ust. 7 w związku z ust. 6 pkt 1c ustawy z dnia 27 kwietnia 2001r – Prawo ochrony środowiska (Dz.U. 2024 poz. 54).

Działając z upoważnienia T-Mobile Polska S.A. z siedzibą ul. Marynarska 12, 02-674 Warszawa, **informuję o zmianie danych w zakresie wielkości i rodzaju emisji** dla instalacji radiokomunikacyjnej **24033 (96022N!) WBI\_BIALYSTOK\_SYBIRAKOW2** zlokalizowanej w miejscowości BIAŁYSTOK, ul. SYBIRAKÓW 2 DZ.185/1. W stosunku do informacji zawartej w zgłoszeniu realizowanym dla tej instalacji w trybie art. 152 ust. 1 i 5 ustawy z dnia 27 kwietnia 2001r – Prawo ochrony środowiska (Dz.U. 2024 poz. 54), dane ulegają zmianie w następujący sposób:

**9. Wielkość i rodzaj emisji<sup>2)</sup>:**

Pole elektromagnetyczne. EIRP poszczególnych anten zostało podane w pkt 12, tj.

Lp.	Równoważna moc promieniowana izotropowo (EIRP) [W]
1.	21608
2.	45293
3.	21608
4.	45293
5.	21608
6.	45293

12. Szczegółowe dane, odpowiednio do rodzaju instalacji, zgodne z wymaganiami określonymi w załączniku nr 2 do Rozporządzenia:

Lp.	1)	2)	3)	4)	5)	
	Współrzędne geograficzne	Częstotliwość lub zakresy częstotliwości pracy instalacji [MHz]	Wysokość środka elektrycznego anteny [m n.p.t]	Równoważna moc promieniowa na izotropowo (EIRP) [W]	Azymut [°]	Kąt pochylenia lub zakresy kątów pochylenia [°]
1.	23°11'42.8" 53°7'53.3"	800/900/1800/2100/2600	36.5	21608	20	-2-10/3.5/-4-8/-4-8/-4-8
2.	23°11'42.7" 53°7'53.3"	3600	36.5	45293	20	0-12
3.	23°11'42.8" 53°7'53"	800/900/1800/2100/2600	36.5	21608	130	-4-8/3.5/-4-8/-4-8/-4-8
4.	23°11'42.9" 53°7'53.1"	3600	36.5	45293	130	0-12
5.	23°11'42.4" 53°7'53.2"	800/900/1800/2100/2600	36.5	21608	260	-3-9/-3-9/-4-8/-4-8/-4-8
6.	23°11'42.5" 53°7'53.1"	3600	36.5	45293	260	0-12

\*) tolerancja azymutu od -10° do +10°.

Informuję, iż dokonane zmiany w zakresie wielkości i rodzaju emisji przedmiotowej instalacji nie powodują zmiany instalacji w sposób istotny zgodnie z art. 3 pkt 7 ustawy Poś.

W załączniku przesyłam:

1. Pełnomocnictwo
2. Kopia potwierdzenia wniesienia opłaty skarbowej.

Otrzymują:

1. a/a
2. adresat





NetWorks Sp. z o.o.  
Laboratorium Badań Środowiskowych  
ul. Józefa Piusa Dziekońskiego 3  
00-728 Warszawa  
e-mail: [Laboratorium@networks.pl](mailto:Laboratorium@networks.pl)



AB 419

S P R A W O Z D A N I E 2707/2023/OS  
Z POMIARÓW PÓL ELEKTROMAGNETYCZNYCH  
WYKONANYCH DLA POTRZEB OCHRONY ŚRODOWISKA

Badany obiekt: Instalacja radiokomunikacyjna T-Mobile Polska S.A.  
Numer i nazwa: 24033 (96022N!) WBI\_BIALYSTOK\_SYBIRAKOW2  
Adres: BIAŁYSTOK, SYBIRAKÓW 2, Powiat m. Białystok, WOJ. PODLASKIE

Data wykonania pomiarów: 2024-03-14

Sprawozdanie z badań bez pisemnej zgody laboratorium nie może być powielane inaczej niż w całości.  
Wynik przedstawione w niniejszym sprawozdaniu odnoszą się wyłącznie do badanego obiektu i do warunków i konfiguracji urządzeń w dniu wykonywania pomiarów.

**1. Właściciel badanego obiektu:**

T-Mobile Polska S.A., ul. Marynarska 12, 02-674 Warszawa

**2. Zleceniodawca:**

T-Mobile Polska S.A., ul. Marynarska 12, 02-674 Warszawa

**3. Przedstawiciel zleceniodawcy:**

NetWorks Sp. z o.o.

**4. Zakres zlecenia:**

Wykonanie badania i opracowanie sprawozdania z pomiarów natężenia pola elektrycznego i pola magnetycznego dla instalacji radiokomunikacyjnej T-Mobile Polska S.A. zlokalizowanej w miejscowości BIAŁYSTOK, SYBIRAKÓW 2.

**5. Cel zlecenia:**

Wykonanie pomiarów pól elektromagnetycznych w otoczeniu instalacji radiokomunikacyjnej 24033 (96022N!) WBI\_BIALYSTOK\_SYBIRAKOW2 w odniesieniu do wymagań określonych w *Rozporządzeniu Ministra Klimatu z dnia 17 lutego 2020 r. w sprawie sposobów sprawdzania dotrzymania dopuszczalnych poziomów pól elektromagnetycznych w środowisku (Dz.U. 2022 poz. 2630)*.

**6. Pomiary zostały wykonane przez:**



**7. Informacje o źródłach pól elektromagnetycznych**

**7.1. Sposób identyfikacji badanych źródeł pól elektromagnetycznych**

Identyfikacji źródeł i parametrów technicznych dokonano na podstawie analizy dokumentacji dotyczącej zlecenia oraz obserwacji miejsca wykonywania badań.

**7.2. Opis miejsca zainstalowania anten i urządzeń technicznych. Opis obiektu badań i jego otoczenia**

Instalacja radiokomunikacyjna zlokalizowana jest na kościele. Anteny zawieszono na wspornikach przytwierdzonych do elewacji budynku kościoła. Urządzenia sterujące oraz zasilające zainstalowano w pomieszczeniu wewnątrz wieży kościelnej. Wokół instalacji znajduje się miasto.

Instalacja radiokomunikacyjna jest obiektem bezobsługowym. Okresowe stanowiska pracy związane są z prowadzonymi w zależności od potrzeb konserwacjami, przeglądami, strojeniem i naprawami.

Sprawozdanie z badań bez pisemnej zgody laboratorium nie może być powielane inaczej niż w całości.  
Wynik przedstawione w niniejszym sprawozdaniu odnoszą się wyłącznie do badanego obiektu i do warunków i konfiguracji urządzeń w dniu wykonywania pomiarów.

### 7.3. Parametry techniczne źródła pola elektromagnetycznego

Dane przedstawiające maksymalne parametry pracy instalacji przekazane przez zleceniodawcę:

Parametry systemu nadawczo-odbiorczego:

Charakterystyka promieniowania		kierunkowa					
Rzeczywisty czas pracy [h/dobę]		24					
Warunki pracy		znamionowe					
Rodzaj wytwarzanego pola		stacjonarne					
Lp.	Częstotliwość lub zakresy częstotliwości pracy [MHz]	Typ/producent anteny	liczba anten	Azymut [°]	kąt pochylenia [°]	Wysokość środka elektrycznego anteny [m n.p.t.]	Równoważna moc promieniowana izotropowo (EIRP) [W]
1	800/900/1800/2100/2600	ASI4518R11v06 Huawei	1	20	-2-10**/3,5*/-4-8**/ -4-8**/-4-8**	36,5	21608
2	3600	AQQQ NSN	1	20	0-12**	36,5	45293
3	800/900/1800/2100/2600	ASI4518R11v06 Huawei	1	130	-4-8**/3,5*/-4-8**/ -4-8**/-4-8**	36,5	21608
4	3600	AQQQ NSN	1	130	0-12**	36,5	45293
5	800/900/1800/2100/2600	ASI4518R11v06 Huawei	1	260	-3-9**/-3-9**/-4-8**/ -4-8**/-4-8**	36,5	21608
6	3600	AQQQ NSN	1	260	0-12**	36,5	45293

\* wskazane wartości kąta pochylenia anten, zgodnie z informacją uzyskaną od zleceniodawcy, są wartościami stałymi

\*\* pomiary wykonano zgodnie z pkt 13., ppkt 2 załącznika do Rozporządzenia Ministra Klimatu z dnia 17 lutego 2020 r. (Dz. U. 2022, poz. 2630).

Transmisja realizowana drogą kablową.

### 7.4 Inne źródła pól elektromagnetycznych

Na podstawie informacji otrzymanych od użytkownika oraz obserwacji otoczenia miejsca wykonywania pomiarów stwierdzono występowanie innych źródeł pola-EM, pracujących w systemie: telefonii komórkowej (800MHz-2600MHz), linii radiowych (5GHz – 90GHz), które istotnie wpływają na wyniki pomiarów.

## 8. Opis pomiarów

### 8.1. Metoda badań

Zgodna z rozporządzeniem Ministra Klimatu z dnia 17 lutego 2020 r. w sprawie sposobów sprawdzania dotrzymania dopuszczalnych poziomów pól elektromagnetycznych w środowisku (Dz.U. 2022 poz. 2630), określona w pkt 25 ppkt 1 załącznika do niniejszego rozporządzenia.

### 8.2. Termin pomiarów i warunki środowiskowe

Podczas wykonywania pomiarów pól elektromagnetycznych nie występowały opady atmosferyczne. Wyniki pomiaru parametrów pogodowych przedstawia poniższa tabela:

Data [rrrr-mm-dd]	Godzina [hh:mm-hh:mm]	Warunki środowiskowe			
		Temperatura [°C]		Wilgotność względna [%]	
2024-03-14	10:05-11:45	Przed pomiarem	Po pomiarach	Przed pomiarem	Po pomiarach
		4.0	5.6	68.5	65.9

Przedstawione wyżej warunki środowiskowe, występujące podczas wykonywania pomiarów pól elektromagnetycznych, są zgodne ze specyfikacją techniczną użytego zestawu pomiarowego.

### 8.3. Warunki pracy urządzeń nadawczych

Podczas pomiarów w przypadku uzyskania wyniku pomiaru szerokopasmowego wykonanego zastosowaną metodą, dla zakresów częstotliwości od 10 MHz do 300 GHz, powiększonego o rozszerzoną niepewność pomiaru U dla współczynnika rozszerzenia  $k = 2$  przekraczającego 70% najniższej dopuszczalnej wartości składowej elektrycznej lub magnetycznej pola dla

Sprawozdanie z badań bez pisemnej zgody laboratorium nie może być powielane inaczej niż w całości.  
 Wynik przedstawione w niniejszym sprawozdaniu odnoszą się wyłącznie do badanego obiektu i do warunków i konfiguracji urządzeń w dniu wykonywania pomiarów.

objętych pomiarami zakresów częstotliwości, uwzględnia się poprawki pomiarowe przekazane przez zleceniodawcę, umożliwiające uwzględnienie maksymalnych parametrów pracy instalacji zgodnie z pkt 7 załącznika do Rozporządzeniem Ministra Klimatu z dnia 17 lutego 2020 r. w sprawie sposobów sprawdzania dotrzymania dopuszczalnych poziomów pól elektromagnetycznych w środowisku (Dz. U. 2022, poz. 2630) zaznaczając, że wymagane jest wykonanie pomiaru z wykorzystaniem miernika selektywnego. W przypadku uzyskania wyniku pomiaru szerokopasmowego wykonanego zastosowaną metodą, dla zakresów częstotliwości od 10 MHz do 300 GHz, powiększonego o rozszerzoną niepewność pomiaru U dla współczynnika rozszerzenia  $k = 2$  nieprzekraczającego 70% najniższej dopuszczalnej wartości składowej elektrycznej lub magnetycznej pola dla objętych pomiarami zakresów częstotliwości, nie uwzględnia się poprawek pomiarowych.

#### 8.4. Wyposażenie pomiarowe

Zestaw pomiarowy służący do pomiaru natężenia składowej elektrycznej pola elektromagnetycznego złożony z szerokopasmowego miernika i sondy pomiarowej:

Oznaczenie miernika	Producent	Model	Numer fabryczny	Oznaczenie sondy	Producent	Model	Numer fabryczny
M-20	Narda Safety Test Solution	Miernik pól elektromagnetycznych NBM-550	H-0347	S-21	Narda Safety Test Solution	Sonda pomiarowa Narda EF6092	C-0114

Mierniki natężenia pola elektromagnetycznego podlegają okresowemu sprawdzeniu zgodnie z procedurą wewnętrzną P-03 i PB-01. Świadczenie wzorcowania zestawu pomiarowego z dnia 31 marca 2023 o numerze LWiMP/W/136/23 wydane przez Politechnika Wrocławską.  
 Data ważności świadectwa wzorcowania: 31 marca 2025 (zgodnie z procedurą wewnętrzną P-03).

#### Termohigrometr:

Oznaczenie:	TH-19	Producent:	AZ INSTRUMENT CORP	Model:	Termohigrometr AZ8706
-------------	-------	------------	--------------------	--------	-----------------------

Data ważności świadectwa wzorcowania: 19 maja 2024 (zgodnie z procedurą wewnętrzną P-03).

#### Dalmierz:

Oznaczenie	Producent	Typ	Numer seryjny	Nr świadectwa wzorcowania	Data świadectwa wzorcowania
D-02	Leica	Dalmierz Leica Disto X310	842350466	1146.6-M11-4180-396/15	8 kwietnia 2015

Data ważności świadectwa wzorcowania: 8 kwietnia 2025 (zgodnie z procedurą wewnętrzną P-03).

#### Odbiornik GNSS:

Oznaczenie	Producent	Model	Numer fabryczny
G-04	Stonex	S7-G GIS	S7G4083040010

Odbiorniki podlegają okresowemu sprawdzeniu zgodnie z procedurą wewnętrzną P-03.

### 9. Wyniki pomiarów

#### Pole elektryczne

Nr pionu	Opis umiejscowienia pionu (punktu pomiarowego)	Wysokość pomiaru [m]	Zmierzona wartość natężenia pola elektrycznego E [V/m] <sup>1,2</sup>	Wartość natężenia pola elektrycznego powiększona o niepewność pomiaru <sup>4</sup> E [V/m]	Wskaźnikowa wartość poziomu emisji pól elektromagnetycznych WMe <sup>3</sup>	Współrzędne geograficzne pionu (punktu pomiarowego) <sup>5</sup>
1	GKP w odległości 16m od anteny sektorowej az. 20°	0.3-2.0	<1.0*	1.5	0.05	53°7'53.8" 23°11'43.1"
2	GKP w odległości 53m od anteny sektorowej az. 20°	0.3-2.0	<1.0*	1.5	0.05	53°7'54.8" 23°11'43.8"

Sprawozdanie z badań bez pisemnej zgody laboratorium nie może być powielane inaczej niż w całości.  
 Wynik przedstawione w niniejszym sprawozdaniu odnoszą się wyłącznie do badanego obiektu i do warunków i konfiguracji urządzeń w dniu wykonywania pomiarów.

3	GKP w odległości 107m od anteny sektorowej az. 20°	0,3-2,0	<1,0*	1,5	0,05	53°7'56.6" 23°11'44.9"
4	PKP na az. 345° w odległości 62m od anteny sektorowej az. 20°	0,3-2,0	<1,0*	1,5	0,05	53°7'55.2" 23°11'42.0"
5	PKP na az. 360° w odległości 52m od anteny sektorowej az. 20°	0,3-2,0	<1,0*	1,5	0,05	53°7'54.8" 23°11'42.7"
6	PKP na az. 13° w odległości 47m od anteny sektorowej az. 20°	0,3-2,0	<1,0*	1,5	0,05	53°7'54.8" 23°11'43.4"
7	PKP na az. 27° w odległości 45m od anteny sektorowej az. 20°	0,3-2,0	<1,0*	1,5	0,05	53°7'54.5" 23°11'43.8"
8	PKP na az. 27° w odległości 60m od anteny sektorowej az. 20°	0,3-2,0	<1,0*	1,5	0,05	53°7'55.2" 23°11'44.2"
9	PKP na az. 40° w odległości 56m od anteny sektorowej az. 20°	0,3-2,0	<1,0*	1,5	0,05	53°7'54.8" 23°11'44.5"
10	PKP na az. 55° w odległości 49m od anteny sektorowej az. 20°	0,3-2,0	<1,0*	1,5	0,05	53°7'54.1" 23°11'44.9"
11	GKP w odległości 28m od anteny sektorowej az. 130°	0,3-2,0	<1,0*	1,5	0,05	53°7'52.3" 23°11'43.8"
12	GKP w odległości 61m od anteny sektorowej az. 130°	0,3-2,0	<1,0*	1,5	0,05	53°7'51.6" 23°11'45.2"
13	GKP w odległości 98m od anteny sektorowej az. 130°	0,3-2,0	<1,0*	1,5	0,05	53°7'50.9" 23°11'47.0"
14	PKP na az. 95° w odległości 60m od anteny sektorowej az. 130°	0,3-2,0	<1,0*	1,5	0,05	53°7'53.0" 23°11'46.0"
15	PKP na az. 110° w odległości 59m od anteny sektorowej az. 130°	0,3-2,0	<1,0*	1,5	0,05	53°7'52.3" 23°11'46.0"
16	PKP na az. 123° w odległości 56m od anteny sektorowej az. 130°	0,3-2,0	<1,0*	1,5	0,05	53°7'52.0" 23°11'45.2"
17	PKP na az. 137° w odległości 54m od anteny sektorowej az. 130°	0,3-2,0	<1,0*	1,5	0,05	53°7'52.0" 23°11'44.9"
18	PKP na az. 150° w odległości 61m od anteny sektorowej az. 130°	0,3-2,0	<1,0*	1,5	0,05	53°7'51.2" 23°11'44.5"
19	PKP na az. 165° w odległości 58m od anteny sektorowej az. 130°	0,3-2,0	<1,0*	1,5	0,05	53°7'51.2" 23°11'43.8"
20	GKP w odległości 25m od anteny sektorowej az. 260°	0,3-2,0	<1,0*	1,5	0,05	53°7'53.0" 23°11'41.3"
21	GKP w odległości 57m od anteny sektorowej az. 260°	2,0	1,5	2,3	0,08	53°7'52.7" 23°11'39.5"
22	GKP w odległości 106m od anteny sektorowej az. 260°	2,0	1,3	2	0,07	53°7'52.7" 23°11'37.0"
23	PKP na az. 225° w odległości 55m od anteny sektorowej az. 260°	0,3-2,0	<1,0*	1,5	0,05	53°7'52.0" 23°11'40.2"

Sprawozdanie z badań bez pisemnej zgody laboratorium nie może być powielane inaczej niż w całości.  
 Wynik przedstawione w niniejszym sprawozdaniu odnoszą się wyłącznie do badanego obiektu i do warunków i konfiguracji urządzeń w dniu wykonywania pomiarów.

24	PKP na az. 240° w odległości 56m od anteny sektorowej az. 260°	2.0	1.2	1.8	0.06	53°7'52.3" 23°11'39.8"
25	PKP na az. 253° w odległości 51m od anteny sektorowej az. 260°	0.3-2.0	<1.0*	1.5	0.05	53°7'52.7" 23°11'39.8"
26	PKP na az. 267° w odległości 45m od anteny sektorowej az. 260°	0.3-2.0	<1.0*	1.5	0.05	53°7'53.0" 23°11'40.2"
27	PKP na az. 280° w odległości 55m od anteny sektorowej az. 260°	2.0	1.4	2.1	0.08	53°7'53.4" 23°11'39.5"
28	PKP na az. 295° w odległości 51m od anteny sektorowej az. 260°	0.3-2.0	<1.0*	1.5	0.05	53°7'53.8" 23°11'39.8"
29	DPP - w płaszczyźnie otworu okiennego korytarza budynku parafialnego, piętro 2, ul. Sybiraków 2	0.3-2.0	<1.0*	1.5	0.05	53°7'52.3" 23°11'43.1"
30	DPP - w płaszczyźnie otworu okiennego budynku domu pogrzebowego, na parterze, ul. Sybiraków 2	0.3-2.0	<1.0*	1.5	0.05	53°7'51.6" 23°11'42.0"
31	DPP - wewnątrz kościoła, ul. Sybiraków 2	0.3-2.0	<1.0*	1.5	0.05	53°7'53.0" 23°11'42.7"
32	DPP - w płaszczyźnie otworu okiennego mieszkania 14, piętro 4, ul. Sybiraków 4A	2.0	<b>2.7</b>	4.1	0.14	53°7'51.6" 23°11'46.0"
33	DPP - w uchylonym oknie klatki schodowej, piętro 4, ul. Sybiraków 4A	2.0	1.3	2	0.07	53°7'51.6" 23°11'46.0"
34	DPP - w uchylonym oknie klatki schodowej, piętro 4, ul. Sybiraków 4A	2.0	1.5	2.3	0.08	53°7'51.2" 23°11'45.6"
35	DPP - w płaszczyźnie otworu okiennego mieszkania 8, piętro 4, ul. Sybiraków 1	2.0	1.7	2.6	0.09	53°7'55.6" 23°11'44.2"
36	DPP - w płaszczyźnie otworu okiennego mieszkania 8, piętro 4, ul. Sybiraków 1	2.0	2.2	3.3	0.12	53°7'55.6" 23°11'43.8"
-	GKP w odległości 298m od anteny sektorowej az. 20°	0.3-2.0	<1.0*	1.5	0.05	53°8'2.4" 23°11'48.5"
-	GKP w odległości 301m od anteny sektorowej az. 130°	0.3-2.0	<1.0*	1.5	0.05	53°7'46.9" 23°11'55.3"
-	GKP w odległości 303m od anteny sektorowej az. 260°	0.3-2.0	<1.0*	1.5	0.05	53°7'51.6" 23°11'26.2"

Sprawozdanie z badań bez pisemnej zgody laboratorium nie może być powielane inaczej niż w całości.  
 Wynik przedstawione w niniejszym sprawozdaniu odnoszą się wyłącznie do badanego obiektu i do warunków i konfiguracji urządzeń w dniu wykonywania pomiarów.



Pole magnetyczne (wyznaczone na podstawie pomiaru wartości natężenia pola elektrycznego)

Nr pionu	Opis umiejscowienia pionu (punktu) pomiarowego	Wysokość pomiaru [m]	Wartość natężenia pola magnetycznego H [A/m] <sup>1</sup>	Wartość natężenia pola magnetycznego powiększona o niepewność pomiaru <sup>1</sup> H [A/m]	Wskaźnikowa wartość poziomu emisji pól elektromagnetycznych W <sub>MH</sub> <sup>3</sup>	Współrzędne geograficzne pionu (punktu) pomiarowego <sup>2</sup>
1	GKP w odległości 16m od anteny sektorowej az. 20°	0.3-2.0	<0.003 <sup>4</sup>	0.004	0.05	53°7'53.8" 23°11'43.1"
2	GKP w odległości 53m od anteny sektorowej az. 20°	0.3-2.0	<0.003 <sup>4</sup>	0.004	0.05	53°7'54.8" 23°11'43.8"
3	GKP w odległości 107m od anteny sektorowej az. 20°	0.3-2.0	<0.003 <sup>4</sup>	0.004	0.05	53°7'56.6" 23°11'44.9"
4	PKP na az. 345° w odległości 62m od anteny sektorowej az. 20°	0.3-2.0	<0.003 <sup>4</sup>	0.004	0.05	53°7'55.2" 23°11'42.0"
5	PKP na az. 360° w odległości 52m od anteny sektorowej az. 20°	0.3-2.0	<0.003 <sup>4</sup>	0.004	0.05	53°7'54.8" 23°11'42.7"
6	PKP na az. 13° w odległości 47m od anteny sektorowej az. 20°	0.3-2.0	<0.003 <sup>4</sup>	0.004	0.05	53°7'54.8" 23°11'43.4"
7	PKP na az. 27° w odległości 45m od anteny sektorowej az. 20°	0.3-2.0	<0.003 <sup>4</sup>	0.004	0.05	53°7'54.5" 23°11'43.8"
8	PKP na az. 27° w odległości 60m od anteny sektorowej az. 20°	0.3-2.0	<0.003 <sup>4</sup>	0.004	0.05	53°7'55.2" 23°11'44.2"
9	PKP na az. 40° w odległości 56m od anteny sektorowej az. 20°	0.3-2.0	<0.003 <sup>4</sup>	0.004	0.05	53°7'54.8" 23°11'44.5"
10	PKP na az. 55° w odległości 49m od anteny sektorowej az. 20°	0.3-2.0	<0.003 <sup>4</sup>	0.004	0.05	53°7'54.1" 23°11'44.9"
11	GKP w odległości 28m od anteny sektorowej az. 130°	0.3-2.0	<0.003 <sup>4</sup>	0.004	0.05	53°7'52.3" 23°11'43.8"
12	GKP w odległości 61m od anteny sektorowej az. 130°	0.3-2.0	<0.003 <sup>4</sup>	0.004	0.05	53°7'51.6" 23°11'45.2"
13	GKP w odległości 98m od anteny sektorowej az. 130°	0.3-2.0	<0.003 <sup>4</sup>	0.004	0.05	53°7'50.9" 23°11'47.0"
14	PKP na az. 95° w odległości 60m od anteny sektorowej az. 130°	0.3-2.0	<0.003 <sup>4</sup>	0.004	0.05	53°7'53.0" 23°11'46.0"
15	PKP na az. 110° w odległości 59m od anteny sektorowej az. 130°	0.3-2.0	<0.003 <sup>4</sup>	0.004	0.05	53°7'52.3" 23°11'46.0"
16	PKP na az. 123° w odległości 56m od anteny sektorowej az. 130°	0.3-2.0	<0.003 <sup>4</sup>	0.004	0.05	53°7'52.0" 23°11'45.2"
17	PKP na az. 137° w odległości 54m od anteny sektorowej az. 130°	0.3-2.0	<0.003 <sup>4</sup>	0.004	0.05	53°7'52.0" 23°11'44.9"
18	PKP na az. 150° w odległości 51m od anteny sektorowej az. 130°	0.3-2.0	<0.003 <sup>4</sup>	0.004	0.05	53°7'51.2" 23°11'44.5"

Sprawozdanie z badań bez pisemnej zgody laboratorium nie może być powielane inaczej niż w całości.  
 Wynik przedstawione w niniejszym sprawozdaniu odnoszą się wyłącznie do badanego obiektu i do warunków i konfiguracji urządzeń w dniu wykonywania pomiarów.

19	PKP na az. 165° w odległości 58m od anteny sektorowej az. 130°	0.3-2.0	<0.003*	0.004	0.05	53°7'51.2" 23°11'43.8"
20	GKP w odległości 25m od anteny sektorowej az. 260°	0.3-2.0	<0.003*	0.004	0.05	53°7'53.0" 23°11'41.3"
21	GKP w odległości 57m od anteny sektorowej az. 260°	2.0	0.004	0.006	0.08	53°7'52.7" 23°11'39.5"
22	GKP w odległości 106m od anteny sektorowej az. 260°	2.0	0.003	0.005	0.07	53°7'52.7" 23°11'37.0"
23	PKP na az. 225° w odległości 55m od anteny sektorowej az. 260°	0.3-2.0	<0.003*	0.004	0.05	53°7'52.0" 23°11'40.2"
24	PKP na az. 240° w odległości 56m od anteny sektorowej az. 260°	2.0	0.003	0.005	0.07	53°7'52.3" 23°11'39.8"
25	PKP na az. 253° w odległości 51m od anteny sektorowej az. 260°	0.3-2.0	<0.003*	0.004	0.05	53°7'52.7" 23°11'39.8"
26	PKP na az. 267° w odległości 45m od anteny sektorowej az. 260°	0.3-2.0	<0.003*	0.004	0.05	53°7'53.0" 23°11'40.2"
27	PKP na az. 280° w odległości 55m od anteny sektorowej az. 260°	2.0	0.004	0.006	0.08	53°7'53.4" 23°11'39.5"
28	PKP na az. 295° w odległości 51m od anteny sektorowej az. 260°	0.3-2.0	<0.003*	0.004	0.05	53°7'53.8" 23°11'39.8"
29	DPP - w płaszczyźnie otworu okiennego korytarza budynku parafialnego, piętro 2, ul. Sybiraków 2	0.3-2.0	<0.003*	0.004	0.05	53°7'52.3" 23°11'43.1"
30	DPP - w płaszczyźnie otworu okiennego budynku domu pogrzebowego, na parterze, ul. Sybiraków 2	0.3-2.0	<0.003*	0.004	0.05	53°7'51.6" 23°11'42.0"
31	DPP - wewnątrz kościoła, ul. Sybiraków 2	0.3-2.0	<0.003*	0.004	0.05	53°7'53.0" 23°11'42.7"
32	DPP - w płaszczyźnie otworu okiennego mieszkania 14, piętro 4, ul. Sybiraków 4A	2.0	<b>0.007</b>	0.011	0.15	53°7'51.6" 23°11'46.0"
33	DPP - w uchylonym oknie klatki schodowej, piętro 4, ul. Sybiraków 4A	2.0	0.003	0.005	0.07	53°7'51.6" 23°11'46.0"
34	DPP - w uchylonym oknie klatki schodowej, piętro 4, ul. Sybiraków 4A	2.0	0.004	0.006	0.08	53°7'51.2" 23°11'45.6"
35	DPP - w płaszczyźnie otworu okiennego mieszkania 8, piętro 4, ul. Sybiraków 1	2.0	0.005	0.007	0.09	53°7'55.6" 23°11'44.2"
36	DPP - w płaszczyźnie otworu okiennego mieszkania 8, piętro 4, ul. Sybiraków 1	2.0	0.006	0.009	0.12	53°7'55.6" 23°11'43.8"
-	GKP w odległości 298m od anteny sektorowej az. 20°	0.3-2.0	<0.003*	0.004	0.05	53°8'2.4" 23°11'48.5"

Sprawozdanie z badań bez pisemnej zgody laboratorium nie może być powielane inaczej niż w całości.  
 Wynik przedstawione w niniejszym sprawozdaniu odnoszą się wyłącznie do badanego obiektu i do warunków i konfiguracji urządzeń w dniu wykonywania pomiarów.

-	GKP w odległości 301m od anteny sektorowej az. 130°	0.3-2.0	<0.003*	0.004	0.05	53°7'46.9" 23°11'55.3"
-	GKP w odległości 303m od anteny sektorowej az. 250°	0.3-2.0	<0.003*	0.004	0.05	53°7'51.5" 23°11'26.2"

GKP – Główny Kierunek Pomiarowy

DPP – Dodatkowy Pion Pomiarowy

PKP – Pomocniczy Kierunek Pomiarowy

<sup>1</sup> wyniki oznaczone \* są wynikami poniżej czułości zestawu pomiarowego i są wynikami spoza zakresu akredytacji. Do obliczenia wyniku skorygowanego przyjęto wartość skorelowaną z rzeczywistym wynikiem pomiaru - dolną granicę akredytowanego zakresu pomiarowego metody

<sup>2</sup> współrzędne geograficzne pozyskane metodą pomiaru bezpośredniego

<sup>3</sup> do wyznaczenia wartości wskaźnikowej  $WM_E$  i  $WM_M$  przyjęto na podstawie uzgodnień z klientem oraz rozpoznania źródeł, jako wartości dopuszczalne pola elektrycznego i magnetycznego odpowiednio 28 V/m i 0,073 A/m.

<sup>4</sup> do wyznaczenia niepewności dla wyników poniżej czułości zestawu pomiarowego, przyjęto niepewność dla minimalnej wartości z zakresu pomiarowego.

<sup>5</sup> maksymalna wartość chwilowa

Niepewność oszacowano zgodnie z dokumentem P-03 „Procedura nadzoru nad wyposażeniem” w postaci niepewności rozszerzonej wynikającej z niepewności standardowej pomnożonej przez współczynnik rozszerzenia  $k=2$ .

Całkowita szacowana niepewność rozszerzona składowej E wynosi odpowiednio: 50% dla częstotliwości do 40 GHz

Umieszczenie pionów (punktów) pomiarowych przedstawiono w załączniku nr 2 do niniejszego sprawozdania.

## 10. Omówienie wyników pomiarów

W związku z tym, że żadna z wartości zmierzonych, udokumentowanych w tabelach w pkt. 9, uzyskanych w skutek zastosowania pomiaru szerokopasmowego, powiększonego o rozszerzoną niepewność pomiaru  $U$  dla współczynnika rozszerzenia  $k = 2$  nie przekroczyła 70% najniższej dopuszczalnej wartości składowej elektrycznej lub magnetycznej pola dla objętych pomiarami zakresów częstotliwości, nie uwzględnia się poprawek pomiarowych.

W wyniku zastosowania sposobu sprawdzenia dotrzymania dopuszczalnych poziomów pól elektromagnetycznych w środowisku, zgodnie pkt 25 ppkt 1 Rozporządzenia Ministra Klimatu z dnia 17 lutego 2020 r. (Dz. U. 2022, poz. 2630), w związku z tym, że żadna z wartości wskaźnikowych, udokumentowanych w tabelach w pkt. 9 nie przekracza wartości 1, stwierdza się, że w miejscach, w których wykonano pomiary w otoczeniu instalacji radiokomunikacyjnej 24033 (96022N!) WBI\_BIALYSTOK\_SYBIRAKOW2, dopuszczalne poziomy pól elektromagnetycznych w środowisku należy uznać za dotrzymane.

## 11. Podstawa prawna

- 1) Ustawa z dnia 27 kwietnia 2001 r. Prawo ochrony środowiska (Dz.U. 2022 poz. 2556)
- 2) Rozporządzenie Ministra Zdrowia z dnia 17 grudnia 2019 r. w sprawie dopuszczalnych poziomów pól elektromagnetycznych w środowisku (Dz. U. 2019, poz. 2448)
- 3) Rozporządzenie Ministra Klimatu z dnia 17 lutego 2020 r. w sprawie sposobów sprawdzania dotrzymania dopuszczalnych poziomów pól elektromagnetycznych w środowisku (Dz. U. 2022, poz. 2630),
- 4) Akredytacja nr AB 419 wydana przez Polskie Centrum Akredytacji (wydanie 22, z dnia 9 stycznia 2024 r.)

## 12. Spis załączników

Załącznik 1. Lokalizacja obiektu badań

Załącznik 2. Usytuowanie pionów (punktów) pomiarowych

Załącznik 3. Dokumentacja fotograficzna obiektu badań

## 13. Data wydania i autoryzowania sprawozdania

Obliczenia i sprawozdanie wykonał :

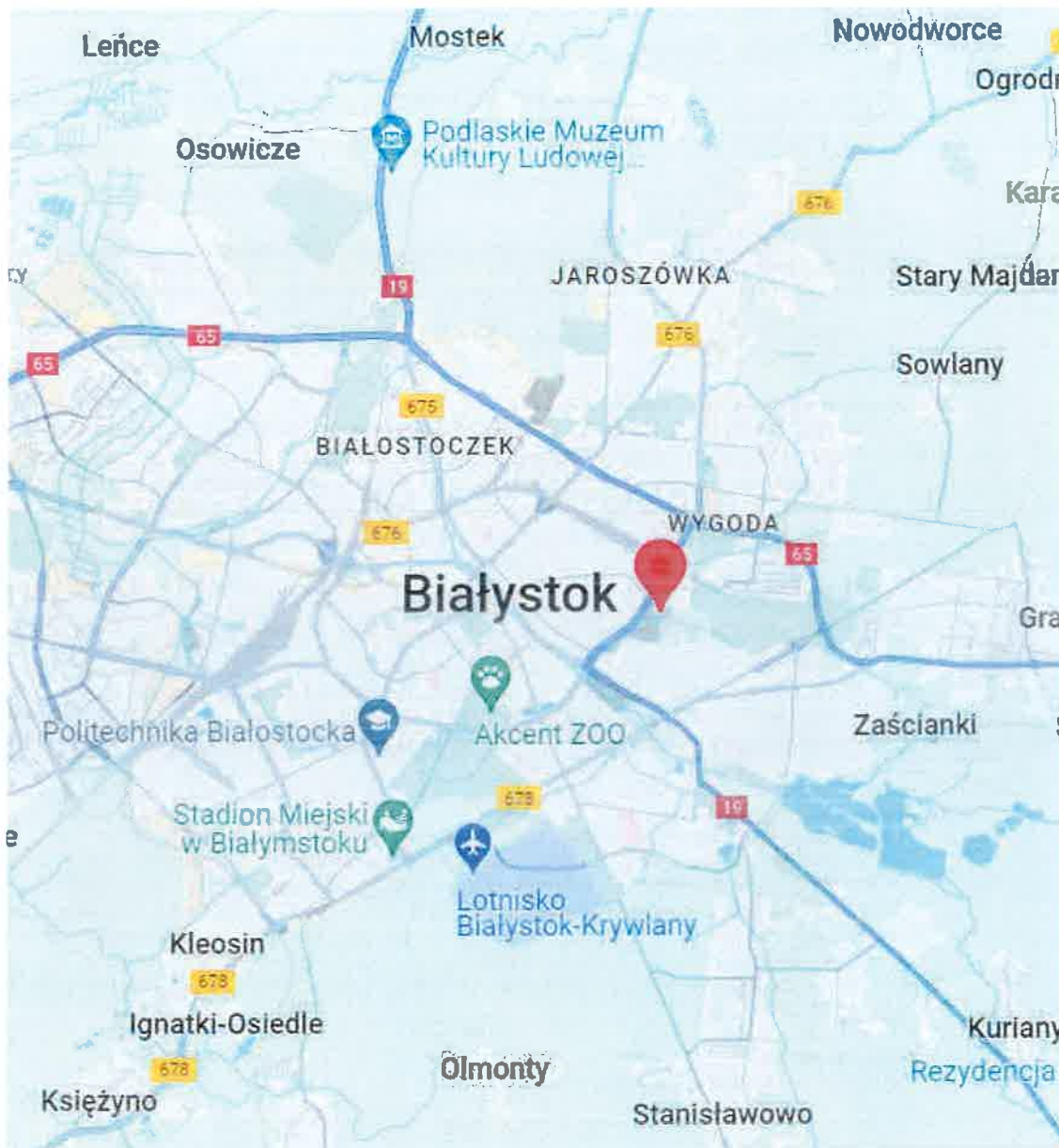
Sprawozdanie autoryzował:



**Koniec sprawozdania**

Sprawozdanie z badań bez pisemnej zgody laboratorium nie może być powielane inaczej niż w całości.

Wynik przedstawione w niniejszym sprawozdaniu odnoszą się wyłącznie do badanego obiektu i do warunków i konfiguracji urządzeń w dniu wykonywania pomiarów.



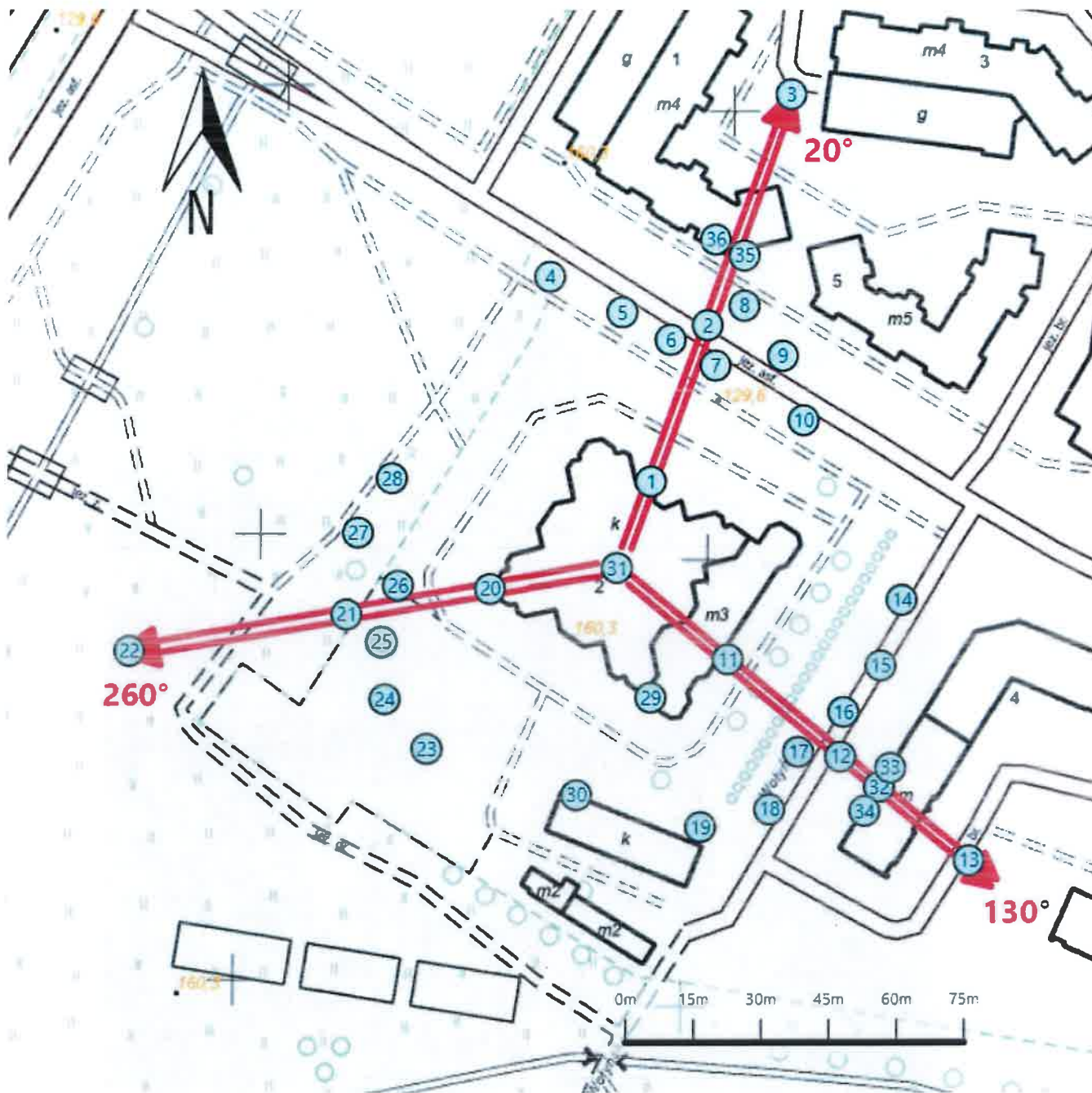
Załącznik nr 1	Instalacja radiokomunikacyjna T-Mobile Polska S.A. 24033 (96022N!) WBI_BIALYSTOK_SYBIRAKOW2 Lokalizacja instalacji
----------------	--



Załącznik nr 3

Instalacja radiokomunikacyjna T-Mobile Polska S.A.  
24033 (96022N!) WBI\_BIALYSTOK\_SYBIRAKOW2

Dokumentacja fotograficzna



Załącznik nr 2	<p style="text-align: center;"><b>Instalacja radiokomunikacyjna T-Mobile Polska S.A.</b>  <b>WBI_BIALYSTOK_SYBIRAKOW2 (96022N!)</b>                  Usytuowanie pionów pomiarowych w otoczeniu instalacji radiokomunikacyjnej</p>
	<p>Legenda:</p> <div style="display: flex; justify-content: space-around; align-items: flex-end;"> <div style="text-align: center;">                   Brak dostępu             </div> <div style="text-align: center;">                   Pion pomiarowy             </div> <div style="text-align: center;">                   Kierunek oddziaływania                  anten sektorowych             </div> <div style="text-align: center;">                   Kierunek oddziaływania                  anten radioliniowych             </div> </div>